

Составляется полная система гидродинамических уравнений четырехкомпонентной газовой смеси. Диффузионные потоки определяются на основе соотношений Стефана — Максвелла из кинетической теории газов. Учитывается зависимость теплофизических свойств и коэффициентов переноса от состава и температуры с использованием потенциала Леннарда — Джонса.

Граничные условия соответствуют диффузионному режиму реагирования и позволяют описывать получение соединений металла с углеродом произвольного состава. Система уравнений и граничные условия записывались в конечно-разностном виде и решались численно на ЭВМ М-222. Из проведенных расчетов видно, что критерии Nu и Sh для различных компонентов заметно различаются между собой ( $Sh_1/Sh_2 \approx 2$ ), поэтому часто используемая аналогия Чилтерна-Колбурна [1] в действительности не имеет места в подобных условиях.

Скорость осаждения слабо зависит от температуры в соответствии с принятым диффузионным режимом реагирования. В то же время существенна ее зависи-

мость от диаметра стержня и состава исходной газовой смеси, варьируя который можно получить покрытие нужного состава.

Проведенное сопоставление показало вполне удовлетворительное согласие результатов с опытными данными [3].

(№ 746/7612. Статья поступила в Редакцию 25/X 1973 г., аннотация — 20/III 1974. Полный текст 0,5 а. л., 8 рис., 9 библиографических ссылок.) А

### СПИСОК ЛИТЕРАТУРЫ

1. Пауэлл К., Оксли Дж., Блочер Дж. Осаждение из газовой фазы. М., Атомиздат, 1970.
2. Андриевский Р. А. и др. «Докл. АН СССР», 1972, т. 206, № 4, с. 896.
3. Функе В. Ф. и др. «Порошковая металлургия», 1969, № 12, с. 39.

## Приближенное определение температур и напряжений в твэлах при нелинейной теплопроводности

ПОСТОЛЬНИК Ю. С., БУРЦЕВ А. И.

УДК 536.2:539.377

Наличие внутренних тепловыделений и интенсивный поверхностный теплоотвод создают настолько большие температурные перепады по сечению твэлов, что при тепловых расчетах требуется учет зависимости теплофизических характеристик от температуры. Для материалов твэлов (керамические композиции карбидов урана и тория, двуокись урана и др.) согласно справочным данным можно принять объемную теплоем-

кость постоянной [ $C_v(T) = c_0 \gamma_0 = \text{const}$ ], а коэффициент теплопроводности  $\lambda(T)$  линейно зависящим от температуры. В соответствии с этим процесс симметричного охлаждения твэлов плоской ( $m = 0$ ), цилиндрической ( $m = 1$ ) или сферической ( $m = 2$ ) формы толщиной (диаметром)  $2R$  с внутренними источниками постоянной плотности  $w$  описывается нелинейной краевой задачей теплопроводности:

$$\frac{1}{\xi m} \frac{\partial}{\partial \xi} \left[ \xi^m (1 + \varepsilon_\lambda \theta) \frac{\partial \theta}{\partial \xi} \right] + \text{Po} = \frac{\partial \theta}{\partial \tau}; \theta(\xi, \tau) \Big|_{\xi=1} = \theta_\Pi; \frac{\partial \theta}{\partial \xi} \Big|_{\xi=0} = 0; \theta(\xi, 0) = 1, \quad (1)$$

где введены безразмерные величины

$$\theta(\xi, \tau) = \frac{T(\xi, \tau) - T_0}{T_0}; \xi = \frac{x}{R}; \tau = \frac{a_0 t}{R^2}; \text{Po} = \frac{w R^2}{\lambda_0 T_0}; \varepsilon_\lambda = \frac{\lambda_1}{\lambda_0} T_0; a_0 = \frac{\lambda_0}{c_0 \gamma_0} \quad (2)$$

Точного решения данная нелинейная задача не имеет. Поэтому для ее приближенного решения использован метод эквивалентных источников, хорошо зареко-

мендовавший себя в различных задачах теплопроводности. Полученное приближенное выражение температурного поля

$$\theta(\xi, \tau) = \frac{1 + \varepsilon_\lambda \theta_\Pi}{\varepsilon_\lambda} \times$$

$$\times \left\{ \sqrt{1 + \frac{\varepsilon_\lambda \text{Po} (1 - \xi^2)}{(1+m)(1 + \varepsilon_\lambda \theta_\Pi)^2}} \left[ 1 - \left\{ 1 - \frac{(1+m)(1 + \varepsilon_\lambda)(1 - \theta_\Pi)}{\text{Po}} \left( 1 + \frac{1 + \varepsilon_\lambda \theta_\Pi}{1 + \varepsilon_\lambda} \right) \right\} \exp \{ -(1+m) v_\varepsilon \tau \} \right] - \frac{1}{1 + \varepsilon_\lambda \theta_\Pi} \right\} \quad (3)$$

асимптотически стремится к точному распределению

$$\bar{\theta}(\xi) = \theta(\xi, \tau) \Big|_{\tau \rightarrow \infty} = \frac{1 + \varepsilon_\lambda \theta_\Pi}{\varepsilon_\lambda} \left[ \sqrt{1 + \frac{\varepsilon_\lambda \text{Po} (1 - \xi^2)}{(1+m)(1 + \varepsilon_\lambda \theta_\Pi)^2}} - \frac{1}{1 + \varepsilon_\lambda \theta_\Pi} \right]. \quad (4)$$

Приближенное решение (3) использовано как «нагрузочная» функция для определения термонапряженного состояния твэлов.

Так, для элемента плоской формы получено следующее аналитическое выражение поля термических напряжений:

$$\bar{\sigma}(\xi, \tau) = \frac{1 + \varepsilon_\lambda \theta_\Pi}{2\varepsilon_\lambda} B(\tau) \left[ \frac{\arcsin D(\tau)}{D(\tau)} + \sqrt{1 - D^2(\tau)} - 2\sqrt{1 - D^2(\tau)\xi^2} \right], \quad (5)$$

где

$$B(\tau) = \sqrt{1 + \frac{\varepsilon_\lambda P_0}{(1 + \varepsilon_\lambda \theta_\Pi)^2} \left\{ 1 - \left[ 1 - \frac{(1 + \varepsilon_\lambda)(1 - \theta_\Pi)}{P_0} \left( 1 + \frac{1 + \varepsilon_\lambda \theta_\Pi}{1 + \varepsilon_\lambda} \right) \right] \exp(-v_\varepsilon \tau) \right\}}; \quad (6)$$

$$D^2(\tau) = \frac{B^2(\tau) - 1}{B^2(\tau)}; \quad v_\varepsilon = 3(1 + \varepsilon_\lambda); \quad \bar{\sigma} = \frac{\sigma}{K_\sigma}; \quad K_\sigma = \frac{\alpha E}{1 - \mu} T_0.$$

Простота приближенных значений для температур (3), (4) и напряжений (5), (6) позволила провести подробный анализ исследуемых явлений. Установлено, что термические напряжения все время возрастают и наибольших значений достигают в предельном температурном состоянии (4), которое при прочих равных условиях наступает тем быстрее, чем больше параметр нелинейности  $\varepsilon_\lambda > 0$ . Практически действие внешней охлаждающей среды взаимокompенсируется внутренними тепловыделениями уже при  $\tau > 1$ . В этом случае приближенная функция (5) стремится к точному решению соот-

ветствующей задачи термоупругости. Показано, что принятие  $\lambda(T) = \lambda_0 = \text{const}$  (если  $\varepsilon_\lambda > 0$ ) при прочностных расчетах ведет к переоценке термических напряжений, т. е. идет в запас прочности. Результаты расчета полей температур и напряжений при  $\theta_\Pi = 0$ ;  $P_0 = 20$ ;  $\varepsilon_\lambda = 0,02$ ;  $0,10$ ;  $1,0$  представлены в графической форме.

(№ 747/7654. Статья поступила в Редакцию 6/XII 1973 г., аннотация — 3/IV 1974 г. Полный текст 0,4 а. л. 4 рис., 7 библиографических ссылок.)

## Влияние дельта-электронов на формирование действующего электронного спектра в безграничной среде

БАРАНОВ В. Ф., ПЛЕТНЕВ В. В., СМИРНОВ В. В.

УДК 539.124.17

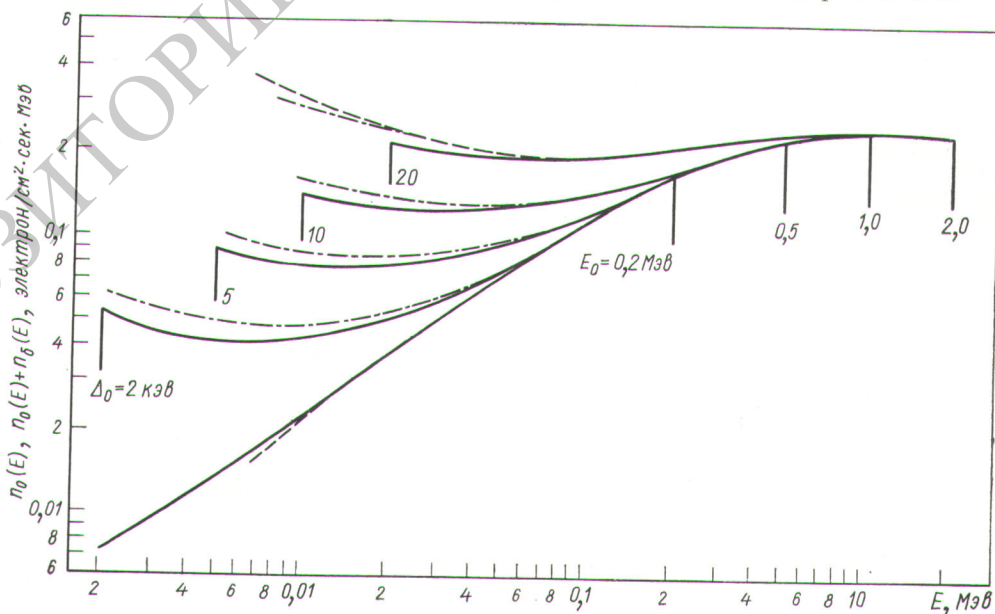
Исследуется процесс формирования действующего спектра электронов в безграничной среде для равномерно распределенных изотропных источников электронов с начальной энергией  $E_0$  в диапазоне от сотен килоэлектронвольт до нескольких мегаэлектронвольт. Радиационные потери электронов считаются пренебрежимо малыми по сравнению с ионизационными. Простая модель процесса замедления, учитывающая возможность возникновения  $\delta$ -электронов первого поколения, позволяет непосредственно получить выражение для дифференциального потока электронов.

$$\text{где } D(E_0, E) = \frac{1}{E} - \frac{2}{E_0} - \frac{2}{E_0} \ln \frac{E_0}{2E}; \quad C = \frac{0,153 Z \rho N_0 E_0}{4 S(E_0) \beta_0^3} \text{ Мэв/см} \cdot \text{сек}; \quad Z, A \text{ и } \rho - \text{атомный}$$

номер, атомный вес и плотность вещества соответственно;  $\beta$  — отношение скорости электрона к скорости света;  $N_0$  — мощность источника,  $\text{электроны/см}^3 \cdot \text{сек}$ ;  $S(E)$  — тормозная способность вещества,  $\text{Мэв/см}$ .

С помощью соотношения (1) получены простые формулы для вычисления важных интегральных характеристик поля рассеянного электронного излучения; средней энергии действующего электронного спектра, потока электронов, поглощенной энергии и т. п.

$$n(E) = \frac{N_0 + CD(E_0, E)}{S(E)}, \quad (1)$$



Спектры первичных и  $\delta$ -электронов в алюминии.